

"Indicación de las guías quirúrgicas para cirugía guiada por TC en implantología en función de su soporte"

Dra. Marina García Selva



Premio SEPES Jr. y Premio a la Mejor Comunicación Oral de Investigación.

Coautores:

Dr. Carlos Labaig Rueda
Dr. Jaime Ortenbach Cerezo

INTRODUCCIÓN

La técnica de cirugía guiada por tomografía computarizada (TC) para implantología, permite conocer la cantidad y disposición del hueso maxilar para planificar la óptima colocación de los implantes mediante guías quirúrgicas, favoreciendo así que la cirugía se lleve a cabo de una forma más sencilla y rápida. Además, con esta técnica, al conocer con anterioridad a la cirugía la posición de los implantes, es más fácil la colocación de una prótesis provisional inmediata.

20

LA SEPES INFORMA

Existen 3 tipos de guías quirúrgicas: Las guías de soporte óseo que colocamos en íntimo contacto con el hueso poseerán una gran estabilidad y, por ello, mejor precisión. Por el contrario, tienen la enorme desventaja de tener la necesidad de realizar una incisión y despegamiento de colgajo de espesor mucoperióstico para poder posicionar la guía correctamente.

En las guías de soporte dento-mucoso la estabilidad viene dada por el ajuste entre la cara tisular de la guía y las caras oclusales de los dientes remanentes (Fig. 1).



fig. 1

Guía de soporte dento-mucoso (cara tisular).

La gran ventaja que presentan es poder realizar una cirugía mínimamente invasiva, utilizando bisturíes circulares y una buena estabilidad gracias al soporte dental. (Fig. 2)



fig. 2

Guía de soporte dento-mucoso posicionada en boca.

El tercer tipo de guía son las de soporte mucoso, que tienen un diseño similar al de una prótesis total removible, con una superficie de apoyo lo más amplia posible, ya que de ello va a depender su estabilidad, ya de por sí más precaria debido a la resiliencia de la fibromucosa. Al igual que las guías de soporte dental, éstas también permiten realizar una cirugía mínimamente invasiva.

El objetivo de nuestro estudio es comparar la fiabilidad de las guías quirúrgicas en función de su soporte (óseo, dento-mucoso o mucoso) y establecer las indicaciones de cada una de ellas según la anchura de hueso en sentido vestíbulo-lingual/palatino disponible.

MATERIAL Y MÉTODO

Para este estudio se han revisado un total de 19 artículos que tratan sobre la utilización de guías quirúrgicas para implantología, publicados en el periodo de tiempo del 2000 al 2009.

De todos ellos, los estudios en los que las guías no han sido fabricadas mediante estereolitografía, y los que no cuantifican la precisión de alguno de los tres tipos de guías quirúrgicas han sido excluidos de nuestro trabajo.

RESULTADOS

Tras la revisión bibliográfica realizada, hemos encontrado 5 artículos en los cuales se valora la precisión de las guías quirúrgicas para cirugía guiada por TC en función de su soporte. Para calcularlo, el método empleado es la superposición de dos TC, la primera, previa a la cirugía, sobre la que se realiza la planificación de los implantes y la segunda, una TC realizada posteriormente a la cirugía. De esta forma, comparamos la discrepancia que existe entre donde se planifica la posición del implante, y donde ha quedado realmente ubicado después de realizar la intervención quirúrgica.

Comparando los resultados que nos ofrecen estos estudios podemos valorar que las guías que obtienen mejores resultados en cuanto a precisión son las de soporte dento-mucoso, seguidas de las óseas y las mucosas, que obtienen unos resultados similares entre sí. (Tabla 1)

	Ósea			Dental			Mucosa		
	Ápice	Cabeza	Ángulo	Ápice	Cabeza	Ángulo	Ápice	Cabeza	Ángulo
Ozan et al. 2009 preprint	1'57±0'9	1'28±0'9	4'63±2'6	0'95±0'6	0'87±0'4	2'91±1'3	1'6±1	1'06±0'6	4'51±2'1
Di Giacomo et al. 2005	2'3; 4'62	0'63; 2'94	7'72; 7'68	1'95	0'42	6'92			
Ersoy et al. 2008	1'6±1'5	1'3±1	5'1±2'7	1'3±0'7	1'1±0'6	4'4±1'6	1'7±1	1'1±0'7	4'9±2'2
Van Assche et al. 2007				2±0'7	1'1±0'7	2±0'8			
Sarmiento et al. 2003 preprint	1±0'6	0'9±0'5	4'5±2						

tabla 1

Resultados encontrados en la bibliografía. Unidades de medida: ápice y cabeza (mm) y ángulo (°)

De los cinco estudios, hemos escogido como referencia el de Ozan y cols. por estudiar los tres tipos de guías, con un volumen de muestra superior (110 implantes) y por ser el más recientemente publicado.

Para calcular la anchura de hueso mínima necesaria para que sea segura y viable la utilización de cada tipo de guía hemos realizado los siguientes cálculos: basándonos en la desviación que obtuvo con las guías Ozan y cols. le sumamos la desviación estándar para poder calcular la mayor desviación posible con cada tipo de guía. A continuación, sumamos 3 mm de hueso más, que supondría el margen de seguridad que se debe de respetar de tabla ósea, vestibular (1'5 mm) y palatina (1'5 mm). Y por último, añadimos el diámetro del implante. (Fig. 3). (Tabla 2).

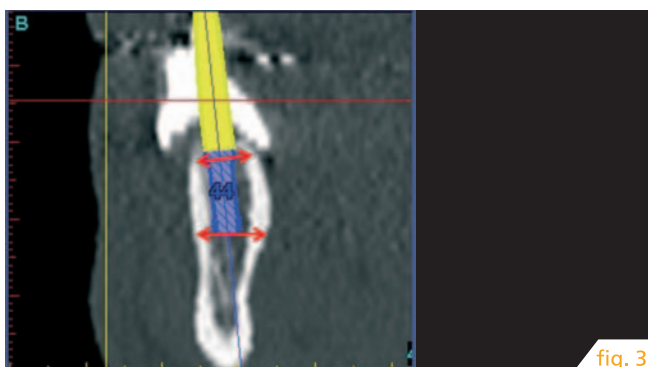


fig. 3

Ejemplo de una TC con una guía de soporte dento-mucoso con las mediciones de la anchura ósea.

REFERENCIAS BIBLIOGRÁFICAS:

- I Esteve Colomina L. Ventajas de la cirugía guiada por ordenador frente a la cirugía tradicional. Una revisión. *Gaceta Dental* 2008;191:116-30
- II Tardieu PB, Vrielink L, Escalona E. Computer-assisted implant placement. A case report: treatment of the mandible. *Int J Oral Maxillofac Implants* 2003;18:599-604
- III Ozan O, Turkyilmaz I, Ersoy AE, McGlumphy EA, Rosenstiel SF. Clinical accuracy of 3 different types of computed tomography-derived stereolithographic surgical guides in implant placement. *J Oral Maxillofac Surg* 2009;67:394-401
- IV Di Giacomo GAP, Cury PR, de Araújo NS, Sendyk WR, Sendyk CL. Clinical application of stereolithographic surgical guides for implant placement: preliminary results. *J Periodontol* 2005;76:503- 7
- V Ersoy AE, Tuffillari P. Placement with stereolithographic surgical guides generated from computed tomography: Clinical data from 94 implants. *J Periodontol* 2008;79:1339-45
- VI Van assche N, Van Steenberghe D, Guerrero ME, Hirsch E, Schutte F, Quirynen M, Jacobs R. Accuracy of implant placement based on pre-surgical planning of three-dimensional cone beam images: a pilot study. *J Clin Periodontol* 2007;34:816-21
- VII Sarmiento DP, Sukovic P, Clinthorne N. Accuracy of implant placement with a stereolithographic surgical guide. *Oral Maxillofac Implants* 2003;18:571-7
- VIII Valente F, Schirolli G, Sbrenna A. Accuracy of computer-aided oral implant surgery: a clinical and radiographic study. *Int J Oral Maxillofac Implants* 2009;24:234-42
- IX Klein M, Abrams M. Computer-guided surgery utilizing a computer-milled surgical template. *Pract Proced Aesthet Dent* 2001; 13 (2): 165-169
- X Rubio M, Albalat S, Peñarrocha M, Peñarrocha M. Software applied to oral implantology: update. *Med Oral Patol Oral Cir Bucal* 2008;13(10):E661-5
- XI Galiana J, Lora-Vázquez M, Gómez de la Mata G, Gutiérrez-Pérez JL. Panificación y rehabilitación inmediata en la cirugía mínimamente invasiva. *RCOE* 2006;11(2):221-7
- XII Sie_egger M, Schneider BT, Miszkowski RA, Lazar F, Krug B, Klesper B, Zöller JE. Use of an image-guided navigation system in dental implant surgery in anatomically complex operation sites. *Journal of Cranio-Maxillofacial Surgery* 2001;29:276-81
- XIII Fuster-Torres MA, Albalat-Estela S, Alcañiz-Raya M, Peñarrocha-Diago M. CAD/CAM dental systems in implant dentistry: update. *Med Oral Patol Oral Cir Bucal* 2009;14(3):141-5
- XIV Lal K, White GS, Morea DN, Wright RF. Use of stereolithographic templates for surgical and prosthodontic implant planning and placement. Part I. The concept. *J Prosthet Dent* 2006;15:51-8
- XV Lal K, White GS, Morea DN, Wright RF. Use of stereolithographic templates for surgical and prosthodontic implant planning and placement. Part II. A clinical report. *J Prosthet Dent* 2006;15:117-22
- XVI Casap N, Tarazi E, Wexler A, Sonnenfeld U, Lustmann J. Intraoperative computerized navigation for flapless implant surgery and immediate loading in the edentulous mandible. *Int J Oral Maxillofac Implants* 2005;20:92-8
- XVII Farga V, Alcaraz J, Martínez-Cerdá D. Máximo aprovechamiento en una sola cirugía: extracciones, implantes inmediatos y no inmediatos y prótesis provisional fija con carga inmediata sobre muñones provisionales. Parte I. *Maxillaris* 2003;12:54-68
- XVIII Farga V, Alcaraz J, Martínez-Cerdá D. Máximo aprovechamiento en una sola cirugía: extracciones, implantes inmediatos y no inmediatos y prótesis provisional fija con carga inmediata sobre muñones provisionales. Parte II. *Maxillaris* 2004;1:66-76
- XIX Naitoh M, Okumura S, Ohsaki C, Kurita K, Ishigami T. Can implants be correctly angulated based on surgical templates used for osseointegrated dental implants? *Clin Oral Impl Res* 2000;11:409-414